

ТУРБУЛЕНТНОЕ ТЕЧЕНИЕ РАЗБАВЛЕННЫХ ЭМУЛЬСИЙ

В. Ф. Медведев, Л. П. Медведева

(Грозный)

Получено уравнение для определения коэффициента гидравлического сопротивления разбавленных эмульсий с использованием концепции турбулентной вязкости и явления гашения турбулентных пульсаций. Результаты теории сравниваются с экспериментом.

Если некоторая масса жидкости попадает в турбулентный поток не смешивающейся с ней жидкости, обладающий достаточно высокой степенью турбулентности, то возникает дробление этой жидкости под воздействием турбулентных пульсаций [1-3]. В этом случае при малом содержании диспергируемой жидкости образуется разбавленная эмульсия. Наименьший диаметр капелек такой эмульсии будет превышать внутренний масштаб турбулентных пульсаций и может быть определен в зависимости от межфазного натяжения σ , плотности дисперсионной среды ρ_1 , внутреннего диаметра трубы D и средней скорости течения w по формуле А. Н. Колмогорова [2,3]

$$(1) \quad d = 2\sqrt{2} \left(\frac{\sigma}{k\rho_1} \right)^{3/5} \frac{D^{2/5}}{w^{6/5}},$$

где $k \approx 0,5$ — коэффициент сопротивления при обтекании капли.

Для описания турбулентного течения разбавленных эмульсий используется концепция вязкости, развитая в полуэмпирической теории турбулентности М. Д. Миллионщикова [4-6], при этом учитывается влияние диспергированной жидкости на коэффициенты динамической $\mu_э$ и турбулентной $\mu_{тэ}$ вязкости эмульсии.

Разбавленные эмульсии ведут себя подобно простым жидкостям и подчиняются законам Ньютона и Пуазейля. Уравнение движения разбавленных эмульсий в трубе запишем в виде

$$(2) \quad (\mu_э + \mu_{тэ}) \frac{du}{dy} = \tau,$$

где u и τ — скорость и касательное напряжение на расстоянии y от стенки трубы. Касательное напряжение в данном сечении в предположении осевой симметрии связано с касательным напряжением на стенке τ_0 соотношением

$$\tau = \tau_0(1 - y_0),$$

где y_0 — безразмерное расстояние от стенки, определяемое отношением y к радиусу трубы r , т. е. $y_0 = y/r$.

Влияние глобул диспергированной жидкости на коэффициент динамической вязкости разбавленной эмульсии проявляется в том, что динамическая вязкость эмульсии $\mu_э$ возрастает с ростом содержания дисперсной фазы β , превышая вязкость дисперсионной среды μ_1 . Бринкман [7] для случая, когда капли движутся независимо одна от другой, получил

$$(3) \quad \mu_э = \mu_1(1 - \beta)^{-2,5}.$$

Для разбавленных эмульсий формула (3) дает хорошее согласование с опытными данными и может быть использована в уравнении движения (2).

Для течения эмульсий в трубе масштабом для пульсационных скоростей в области развитой турбулентности является динамическая скорость, соответствующая касательному напряжению на данном радиусе [4-6]:

$$(4) \quad v_{*y_3} = v_{*3} \sqrt{1 - y_0},$$

где $v_{*3} = \sqrt{\tau_w / \rho_3}$ — динамическая скорость. При этом плотность эмульсии ρ_3 определяется аддитивно $\rho_3 = \rho_1(1 - \beta) + \rho_2\beta$, где ρ_2 — плотность дисперсной фазы.

Уравнение (2) может быть представлено в виде

$$(5) \quad (v_3 + v_{T3}) \frac{d^2 u}{dy^2} = v_{*3}^2 (1 - y_0) = v_{*y3}^2,$$

где v_3 — коэффициент кинематической вязкости эмульсии ($v_3 = \mu_3 / \rho_3$);
 v_{T3} — турбулентная кинематическая вязкость ($v_{T3} = \mu_{T3} / \rho_3$).

Определим турбулентную кинематическую вязкость как произведение динамической скорости v_{*y3} на данном радиусе и пути смешения l_3

$$(6) \quad v_{T3} = v_{*y3} l_3.$$

Тогда уравнение (5) с учетом (4), (6) примет вид

$$(v_3 + v_{*3} l_3 \sqrt{1 - y_0}) \frac{du}{dy} = v_{*3}^2 (1 - y_0).$$

Из этого уравнения видно, что при достаточно больших значениях числа Рейнольдса, когда вязкостью можно пренебречь, логарифмическому профилю соответствует изменение l_3 по радиусу в соответствии с формулой

$$l_3 = a_3 (y - \delta_\Delta) \sqrt{1 - y_0},$$

где a_3 — безразмерный коэффициент, δ_Δ — толщина ламинарного подслоя. Для однофазных жидкостей значение безразмерного коэффициента и толщины ламинарного подслоя определены в [4-6] на основании обработки экспериментальных данных: $a = 0$ для ламинарного течения и $a = 0,39$ для развитого турбулентного течения и $\delta = v_* \delta_\Delta / \nu = 7,8$.

Влияние глобул диспергированной жидкости на турбулентную кинематическую вязкость проявляется в уменьшении длины пути смешения по сравнению с турбулентным течением однофазной жидкости.

Поскольку пленка поверхностно-активных веществ, адсорбируемых на поверхности раздела жидкостей, препятствует проникновению пульсационных движений внутрь глобул, то уменьшение длины пути смешения при турбулентном течении эмульсии определяется прежде всего уменьшением объема, в котором происходит диссипация турбулентной энергии (из общего объема ядра турбулентного потока необходимо исключить объем, занимаемый глобулами дисперсной фазы), т. е. в безразмерный коэффициент длины пути смешения следует ввести множитель $(1 - \beta)$. Кроме того, поскольку размер капелек рассматриваемой эмульсии превышает внутренний масштаб турбулентности дисперсионной среды λ_0 , происходит некоторое гашение турбулентных пульсаций на поверхности этих капелек. Если считать, что полное гашение турбулентных пульсаций в дисперсионной среде имеет место в эмульсии с плотной упаковкой глобул такого диаметра d_n , что просвет между ними не превышает λ_0 , то эффективность гашения турбулентных пульсаций на поверхности глобул

разбавленной эмульсии может быть учтена множителем $(1 - S/S_{\Pi})$ к безразмерному коэффициенту длины пути смешения, где S/S_{Π} -- отношение межфазных поверхностей разбавленной и наиболее плотной эмульсий. Таким образом,

$$a_3 = 0,39(1 - \beta)(1 - S/S_{\Pi}).$$

Объемная доля дисперсной фазы при теснейшем расположении глобул в плотной эмульсии $\beta_{\Pi} = 0,741$ [8].

Поэтому

$$(7) \quad \frac{S}{S_{\Pi}} = \frac{\beta}{0,741} \frac{d_{\Pi}}{d}.$$

Рассматривая модель теснейшего расположения глобул, из геометрических представлений найдем, что наибольший размер просвета между глобулами составляет $h = 0,365d_{\Pi}$. Внутренний масштаб турбулентности дисперсионной среды λ_0 определим из условия, что число Рейнольдса для движения масштаба λ_0 равно единице [3]:

$$\lambda_0 = \frac{D}{\text{Re}_1^{3/4}} = \left(\frac{D^{1/3} \mu_1}{w \rho_1} \right)^{3/4}.$$

Приравнивая h и λ_0 , найдем, что

$$(8) \quad d_{\Pi} = 2,74 \left(\frac{D^{1/3} \mu_1}{w \rho_1} \right)^{3/4}.$$

Подставляя в (7) выражения (1), (8), получаем

$$S/S_{\Pi} = 0,863\beta M^{0,15},$$

где $M = \frac{\mu_1^5 w^3}{D \rho_1 \sigma^*}$ -- безразмерный параметр.

В результате для безразмерного коэффициента длины пути смешения окончательно имеем

$$(9) \quad a_3 = 0,39(1 - \beta)(1 - 0,863\beta M^{0,15}).$$

Толщину ламинарного подслоя, очевидно, можно считать аналогично однофазной жидкости: $\delta = v_{*3} \delta_{\Lambda} / v_3 = 7,8$.

Таким образом, уравнение движения разбавленной эмульсии в трубе принимает вид

$$[b_3 + a_3(y_0 - \delta_0)(1 - y_0)] \frac{du/v_{*3}}{dy_0} = 1 - y_0,$$

где $b_3 = v_3 / rv_{*3}$, $\delta_0 = \delta_{\Lambda} / r$,

$$a_3 = 0 \text{ при } y_0 < \delta_0;$$

$$a_3 = 0,39(1 - \beta)(1 - 0,863\beta M^{0,15}) \text{ при } y_0 \geq \delta_0.$$

Интегрируя это уравнение с учетом плавного смыкания с ламинарным подслоем, имеем

$$(10) \quad \frac{u}{v_{*3}} = \frac{1}{b_3} \left(y_0 - \frac{y_0^2}{2} \right) \text{ при } y_0 < \delta_0,$$

$$\frac{u}{v_{*a}} = \frac{1}{2a_a} \left\{ \ln \left[1 + \frac{a_a}{b_a} (y_0 - \delta_0)(1 - y_0) \right] + \right. \\ \left. + \frac{1 - \delta_0}{V\Delta} \ln \frac{\{V\Delta + [2y_0 - (1 + \delta_0)]\} \{V\Delta - (\delta_0 - 1)\}}{\{V\Delta - [2y_0 - (1 + \delta_0)]\} \{V\Delta + (\delta_0 - 1)\}} \right\} + \delta \left(1 - \frac{\delta_0}{2} \right)$$

при $y_0 \geq \delta_0$, где $V\Delta = \sqrt{4 \frac{b_a}{a_a} + (1 - \delta_0)^2}$.

Формулы (10) дают распределение скорости во всем диапазоне изменения y_0 от 0 до 1. Причем на оси трубы, т. е. при $y_0=1$, удовлетворяется условие $du/dy=0$.

Коэффициент сопротивления при течении эмульсии в трубах определяется формулой

$$\lambda_a = 2 \frac{D}{L} \frac{\Delta p}{\rho_a w^2} = 8 \left(\frac{v_{*a}}{w} \right)^2,$$

где Δp — перепад давления на длине L .

Среднее значение скорости определяется интегралом

$$w = 2 \int_0^1 (1 - y_0) u dy_0.$$

При этом интегрирование разбивается на два участка: от 0 до δ_0 , где $a_a=0$, и от δ_0 до 1, где a_a определяется по (9). При интегрировании от δ_0 до 1, следуя [4-6], воспользуемся заменой выражения (10) для этого интервала на выражение

$$\frac{u}{v_{*a}} = \frac{1}{a_a} \ln \left[1 + \frac{a_a}{b_a} (y_0 - \delta_0) \right] + \delta + f(y_0/b_a),$$

которое при малых значениях b_a отличается от (10) лишь малой поправкой $f(y_0/b_a)$, проявляющей только вблизи оси трубы.

Формулы для w/v_{*a} и λ_a имеют вид

$$(11) \quad \frac{w}{v_{*a}} = \frac{1}{2} \operatorname{Re}_a b_a = \frac{1}{b_a} \left(\delta_0^2 - \delta_0^3 + \frac{\delta_0^4}{4} \right) + \frac{a_a^2}{a_a^3} \left[\alpha^2 \left(\ln \alpha - \frac{3}{2} \right) + \right. \\ \left. + 2\alpha - \frac{1}{2} \right] + \delta - \varepsilon; \\ \lambda_a = \frac{8}{\left(\frac{\operatorname{Re}_a b_a}{2} \right)^2},$$

Физические свойства жидкостей при температуре 20°C

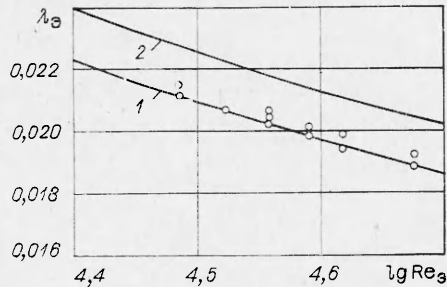
Рабочая жидкость	Вязкость кинематическая, м ² /с	Плотность, кг/м ³	Межфазное натяжение на границе раздела трансформаторное масло—вода, Н/м
Вода	$1,7 \cdot 10^{-6}$	998	$44,8 \cdot 10^{-3}$
Трансформаторное масло *	$24,3 \cdot 10^{-6}$	896	

* В трансформаторном масле поверхностно-активными являются асфальтово-смолистые вещества.

где $Re_\varepsilon = \frac{wD\rho_\varepsilon}{\mu_\varepsilon}$, $\alpha = 1 + \frac{a_\varepsilon}{b_\varepsilon} (1 - \delta_0)$,

ε — малая поправка, связанная с функцией $f(y_0/b_\varepsilon)$, которой практически можно пренебречь. Формулы (11) дают параметрическую зависимость между Re_ε и λ_ε , причем параметром является величина b_ε .

Экспериментальные исследования по определению коэффициента гидравлического сопротивления λ_ε были проведены на установке, описанной в [9], при течении разбавленной эмульсии трансформаторного масла в воде в трубе диаметром 39,4 мм при температуре $19 \pm 1^\circ\text{C}$.



Жидкости, физические свойства которых приведены в таблице, подавались в экспериментальный участок путем выдавливания воздухом из емкостей, так что образование эмульсии в трубопроводе происходило только под действием турбулентных пульсаций.

На фигуре дано сравнение результатов экспериментов с расчетами по (11) для эмульсии с содержанием дисперсной фазы $\beta=0,1$. Кривая 2 показывает закон сопротивления для чистой жидкости. Видно, что коэффициент сопротивления для разбавленной эмульсии (кривая 1) существенно ниже, чем для чистой жидкости.

Поступила 6 VIII 1974

ЛИТЕРАТУРА

1. Баранав М. К., Теверовский Е. Н., Трегубова Э. Л. О размере минимальных пульсаций в турбулентном потоке. — «Докл. АН СССР», 1949, т. 66, № 5.
2. Колмогоров А. Н. О дроблении капель в турбулентном потоке. — «Докл. АН СССР», 1949, т. 66, № 5.
3. Левич В. Г. Физико-химическая гидродинамика. М., Физматгиз, 1959.
4. Миллиончиков М. Д. Турбулентные течения в пограничном слое и в трубах. М., «Наука», 1969.
5. Миллиончиков М. Д. Турбулентные течения в пристеночном слое и в трубах. — «Атомная энергия», 1970, т. 28, вып. 3.
6. Миллиончиков М. Д. Законы сопротивления, тепло- и массообмена при турбулентном течении в трубах. Спец. докл. на VIII Всемирном нефтяном конгрессе. М., 1971.
7. Brinkman H. C. The viscosity of concentrated suspensions and solutions. — «J. Chem. Phys.», 1952, vol. 20, N 4.
8. Медведев В. Ф. Предельное напряжение сдвига эмульсий. — «Инж.-физ. журн», 1972, т. 24, № 4.
9. Гужов А. И., Гришин А. П., Медведев В. Ф., Медведева Л. П. Образование эмульсий при течении двух жидкостей в трубопроводе. — «Нефтяное хозяйство», 1973, № 8.